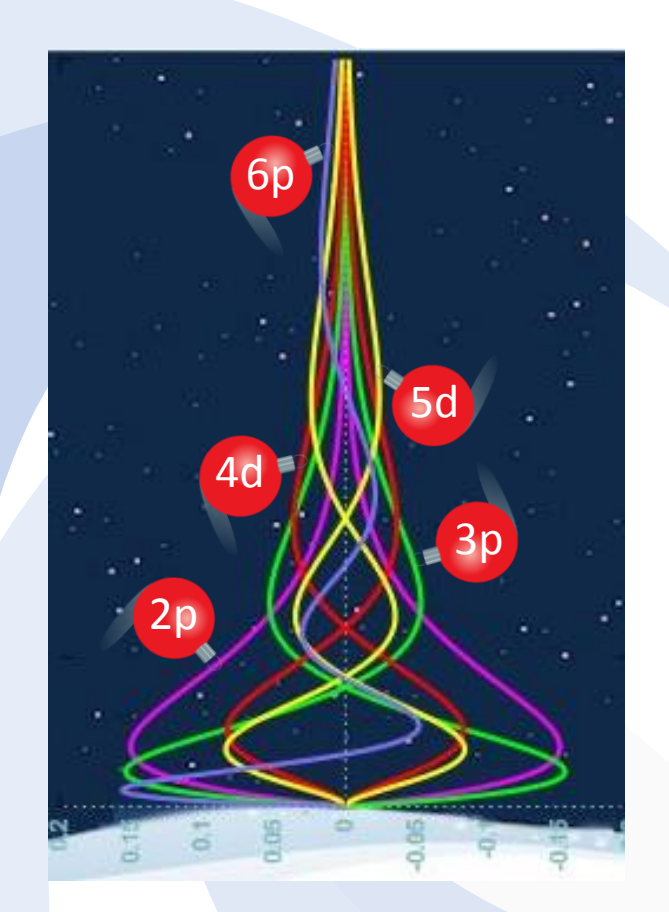


КРИВЫЕ ПЛАВЛЕНИЯ МЕТАЛЛОВ НА ОСНОВЕ ПЕРВОПРИНЦИПНЫХ РАСЧЕТОВ И КРИТЕРИЯ ЛИНДЕМАНА



Левашов П.Р.

Объединенный институт высоких температур РАН Москва, Россия

Семинар теоротдела им. Л.М. Бибермана 29 декабря 2022 г.



Соавторы доклада

Дмитрий Минаков, с.н.с.



Георгий Демьянов м.н.с., аспирант

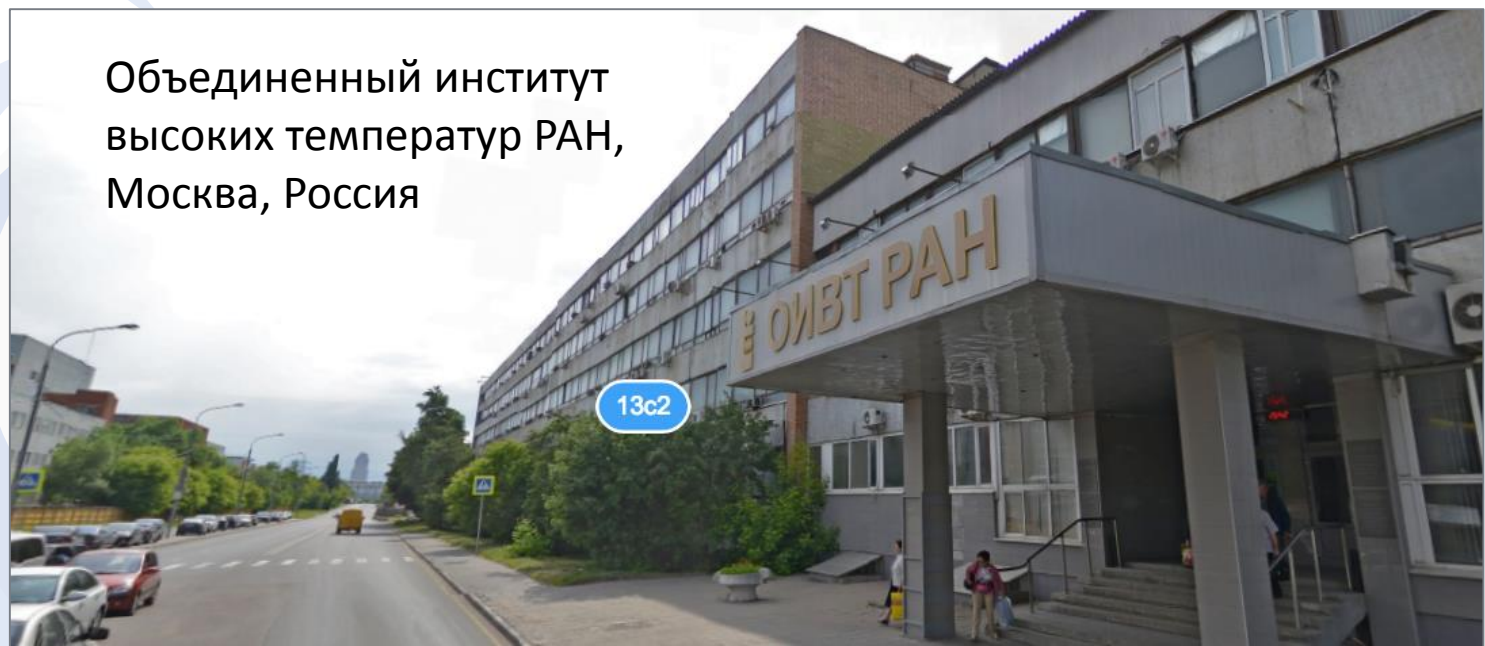


Владимир Фокин, н.с.



Михаил Парамонов, м.н.с., аспирант







Содержание доклада

- Критерий Линдемана
- Квазигармоническое приближение
 - фононный спектр
 - коэффициент теплового расширения
 - кривые плавления
 - влияние электронной температуры
 - влияние ангармонизма
- Метод квантовой молекулярной динамики
 - расчет среднеквадратического смещения
 - кривые плавления
 - наклон кривых плавления из уравнения Клапейрона-Клаузиуса
- Выводы

CHE ET SCHRIFT

No. 14.

15. Juli 1910. Redaktionsschluß für No. 15 am 18. Juli 1910. 11. Jahrgang.

INHALT:

Originalm F. A. rechn zen. P. P. K behau longit Zeem: E. v. S tellen der Na F. Ehr thode tätsme Ladun erheb von de

schein

Если предположить, что в точке плавления живая сила частиц и, следовательно, амплитуда колебаний настолько велики, что атомы или их сферы действия непосредственно сталкиваются, то, как и в случае с газом, энергия передается непосредственно посредством удара, и вся равновесная ситуация приходит в движение.

vände heorie Kolnwenhließ-655.

trom-

COPY

:: 30

ORIGINALMITTEILUNGEN.

LIERARY, NASA

LANGLEY RESEARCH CENTER

frequenzen 1).

Von F. A. Lindemann.

Es ist in letzter Zeit gezeigt worden?), daß sich der Verlauf der Atomwärmen verschiedener Elemente und Verbindungen durch die von Einstein³) vorgeschlagene Funktion

$$c = \frac{3R}{n} \sum_{r_i}^{r_n} \frac{\left(\frac{\beta v_i}{T}\right)^2 c^{\frac{\beta r_i}{T}}}{\left(c^{\frac{\beta r_i}{T}} - 1\right)^2}$$

wiedergeben läßt, sofern man durch ein empirisches additives Glied, für welches vorläufig

Über die Berechnung molekularer Eigen- | fällt: wenn diese Arbeit gegen die KAMISTONS-VIRGINIA kräfte später genauer bekannt sein wird, kann man sie übrigens ohne weiteres in die folgenden Gleichungen einführen. Bei manchen Substanzen mit komplizierter gebauten Molekülen muß man mehrere Eigenfrequenzen annehmen. Dagegen hat sich gezeigt, daß man bei den meisten Elementen, wie auch bei einigen einfachen anorganischen Verbindungen, mit einer Eigenfrequenz auskommen kann. Es soll hier untersucht werden, ob man nicht a priori etwas über ihre Größe aussagen kann.

> Es läßt sich leicht zeigen, daß bei kleinen Schwingungsweiten die Kräfte, die ein Teilchen



Критерий Линдемана

• Оригинальная формулировка Линдемана: плавление наступает, когда амплитуда тепловых колебаний становится столь большой, что соседние атомы (ионы) частично занимают одну и ту же область пространства (фактически сталкиваются)

F.A. Lindemann, Phys. Z. 11, 609 (1910)

• Гильварри переформулировал критерий Линдемана в привычную форму: плавление наступает, когда отношение среднеквадратичной амплитуды тепловых колебаний к среднему межчастичному расстоянию между атомами (ионами) в кристалле превышает пороговую величину L_{melt} , постоянную вдоль кривой плавления:

J.J. Gilvarry, Phys. Rev. **102**, 308 (1956) критический параметр Линдемана

$$\sqrt{\langle u^2
angle} = L_{
m melt} d_{at}$$

В этой же работе Гильварри связал среднеквадратичную амплитуду тепловых колебаний с температурой Дебая (т.н. теория Дебая-Линдемана), отсюда следует выражение для температуры плавления:

$$T_m = rac{L_{
m melt}^2}{9 \hbar^2} M k_B \Theta^2 d_{at}^2$$
 масса атома температура Дебая

Займан Дж. Принципы теории твердого тела, М.: Наука, 1974



Теоретическое обоснование критерия Линдемана

Для однородных потенциалов и, в частности, для потенциала мягких сфер $\varepsilon(\sigma/r)^n$ критерий Линдемана выполняется точно. Это следует из того факта, что статсумма системы мягких сфер зависит только от одного параметра х:

$$Z = rac{V^N}{N!\Lambda^{3N}} \int \expigg(-
ho^{n/3} rac{arepsilon}{k_B T} \sum s_{ij}^{-n}igg) d\mathbf{s}^N \qquad \qquad iggrap x =
hoigg(rac{arepsilon}{k_B T}igg)^{3/n}$$

$$ho \equiv N \sigma^3 / V; \;\; {f s} = {f r} (N/V)^{1/3}; \;\; \Lambda^2 = h^2 / (2 \pi m k_B T)$$

Тогда для вычисления термодинамических свойств системы достаточно одной изотермы, параметры x_{sol} и x_{lia} являются универсальными, относительный скачок плотности при плавлении есть константа,

$$P\sim \left(rac{k_BT}{arepsilon}
ight)^{1+3/n}$$

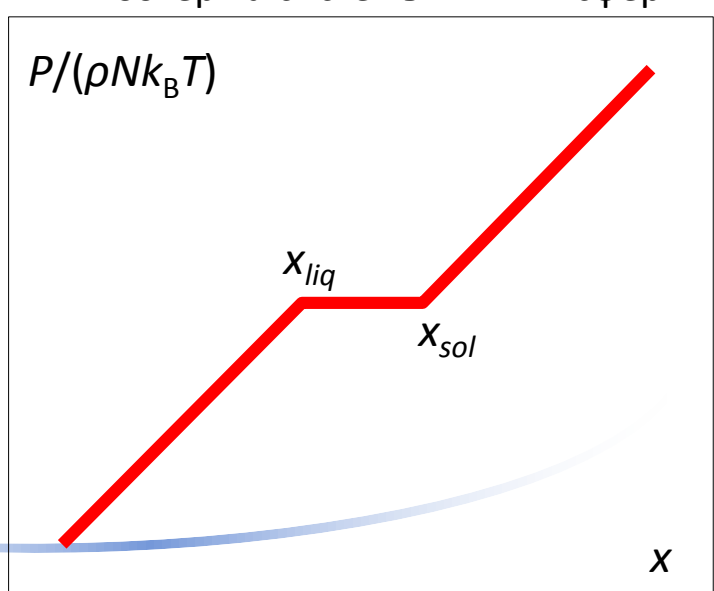
эмпирический закон Симона для системы мягких сфер является точным:

$$T_m = T_{m0}igg(rac{P-P_0}{a}+1igg)^{b}$$

Hoover W.G., Ross M. Contemp. Phys. 12, 339 (1971)

Стишов С.М. УФН 114, 3(1974)

Изотерма системы мягких сфер





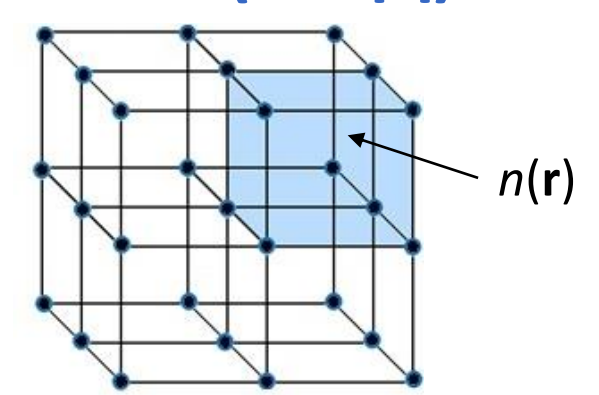
Метод функционала плотности и квантовой молекулярной динамики (КМД)

Метод функционала плотности

$$F_{KS} = T_{non-int.}[n] + E_{
m Hartree} + E_{II} + E_{xc}[n] - TS$$
 кин. энергия обменно-корреляционная невзаим. эл-нов

$$S = - \left[\sum_i f_i \ln f_i + \sum_i (1-f_i) \ln (1-f_i)
ight]$$

числа заполнения

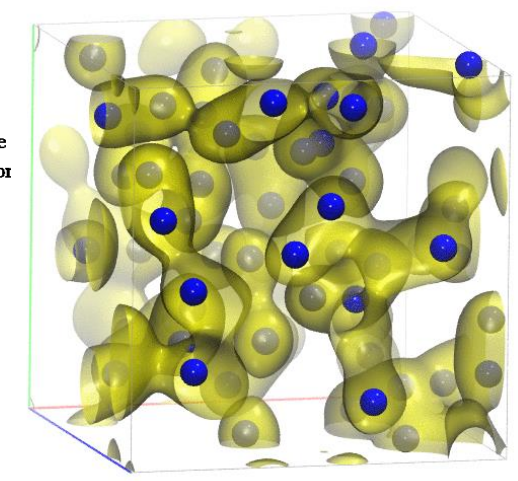


Минимизация свободной энергии электронов в элементарной ячейке кристалла по $n(\mathbf{r})$

Метод квантовой молекулярной динамики

- Адиабатическое приближение
- Электроны квантовые и описываются в рамках метода функционала плотности
- Ионы классические и движутся под действием сил со стороны электронов и других ионов





G. Kresse and J. Hafner, Phys. Rev. B 47, 558 (1993); 49, 14251 (1994).
 G. Kresse and J. Furthmuller, Phys. Rev. B 54, 11169 (1996).



Квазигармоническое приближение

В квазигармоническом приближении атомы вещества совершают гармонические колебания у положений равновесия, а потенциальная энергия раскладывается до членов 2-го порядка (s — номер атома, l — номер элементарной ячейки):

$$V=V_0+\sum_{s,l,j}u^j_{sl}\left[rac{\partial V}{\partial u^j_{sl}}
ight]_0+rac{1}{2}\sum_{ss',ll',jj'}u^j_{sl}u^{j'}_{s'l'}\left[rac{\partial^2 V}{\partial u^j_{sl}\partial u^{j'}_{s'l'}}
ight]_0+\ldots.$$

Тогда уравнения движения принимают вид:

$$M_s \ddot{\mathbf{u}}_{sl} = -\sum_{s'\ l'} \mathbf{G}_{sl;s'l'} {\cdot} \mathbf{u}_{s'l'}$$

Эти уравнения можно свести к уравнениям для одной элементарной ячейки:

$$M_s\ddot{\mathbf{U}}_{s,\mathbf{q}}=-\sum_{s'}\mathbf{G}_{ss'}(\mathbf{q})\cdot\mathbf{U}_{s',\mathbf{q}};\;\;\mathbf{G}_{ss'}(\mathbf{q})\equiv\sum_{\mathbf{h}}\mathbf{G}_{ss'}(\mathbf{h})e^{i\mathbf{q}\cdot\mathbf{h}}$$
 матрица

Решение этой системы уравнений сводится к задаче на собственные значения:

$$\sum_{s',j'} \Bigl\{ \mathbf{G}_{ss'}^{jj'}(\mathbf{q}) -
u^2 M_s \delta_{ss'} \delta_{jj'} \Bigr\} U_{s',\mathbf{q}}^{j'} \quad \Rightarrow \quad \det \left| rac{1}{\sqrt{M_s M_{s'}}} \mathbf{G}_{ss'}^{jj'}(\mathbf{q}) -
u^2
ight| = 0$$

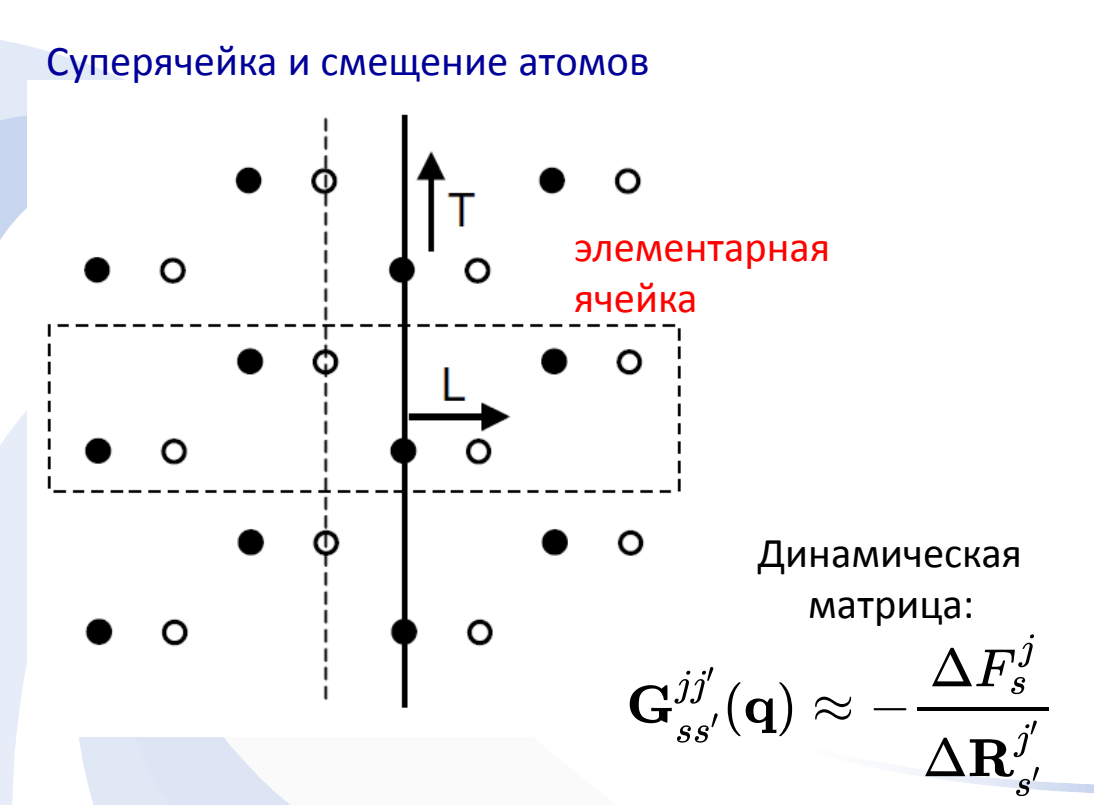
Отсюда находятся 3n решений $v(\mathbf{q})$ (n — число атомов в элементарной ячейке)

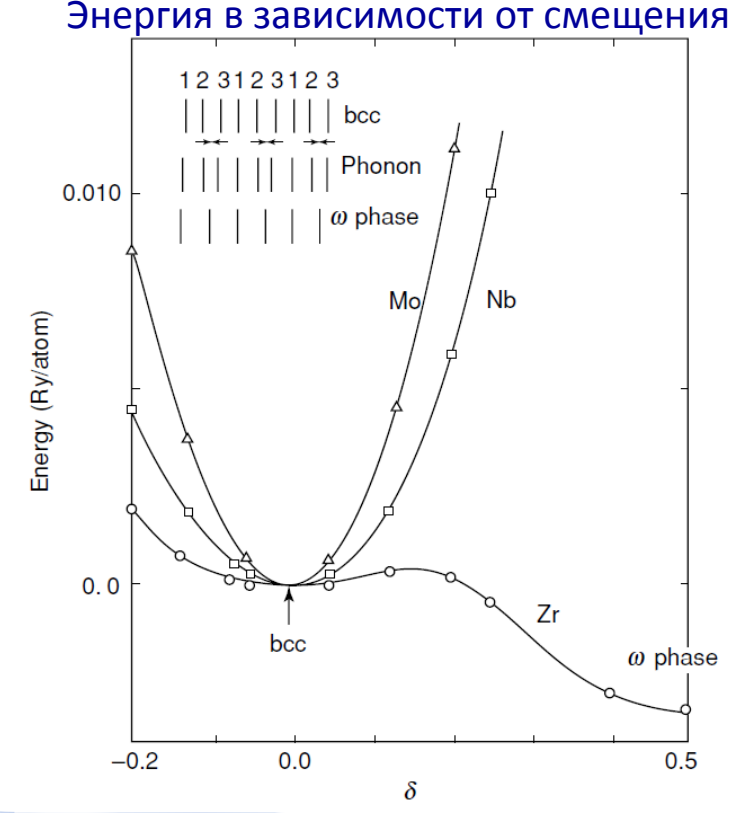
Займан Дж. Принципы теории твердого тела, М.: Наука, 1974



Плотность фононных состояний и фононный спектр

Для вычисления динамической матрицы в реальных расчетах существуют различные подходы. Наиболее простой с идейной точки зрения — приближение «замороженных» фононов: атом в суперячейке смещается из положения равновесия, и вычисляются силы, действующие на другие атомы при таком смещении.





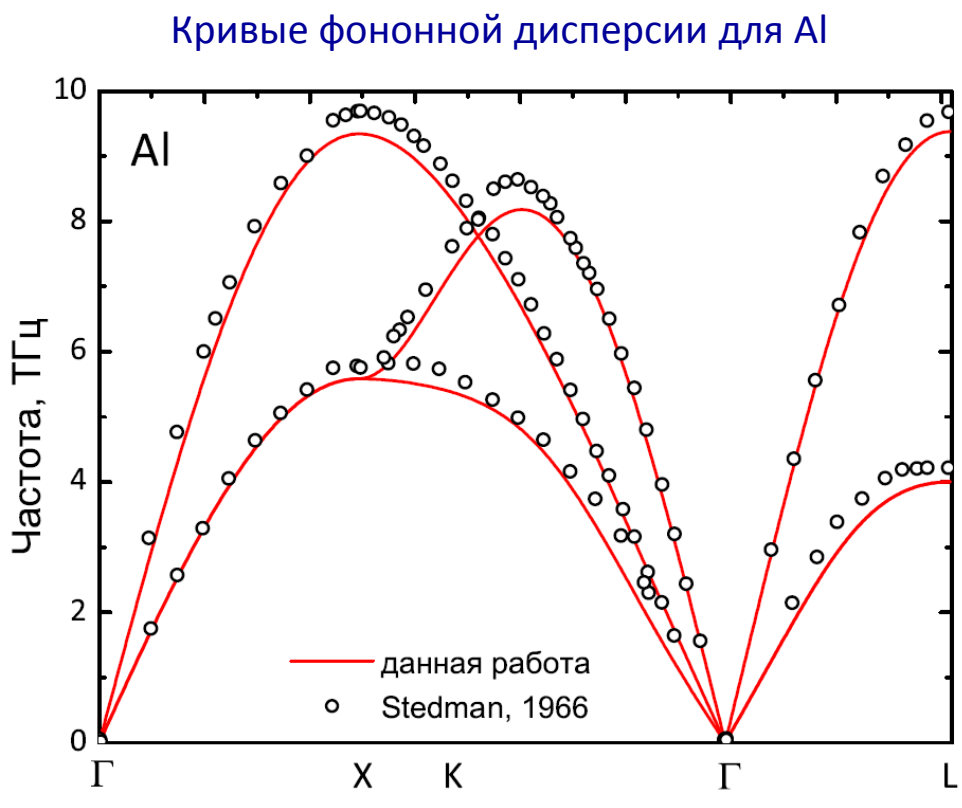
Martin R.M. Electronic structure: basic theory and practical methods, Cambridge Univ. Press, 2004



Фононные спектры, сравнение с экспериментом

Фононный спектр кристалла представляет собой скалярное поле $v(\mathbf{q})$. Для его изображения на графиках используют точки высокой симметрии: центр зоны Бриллюэна (Г-точка), вершины многогранника, центры граней и т.д. На графике изображают значения $v(\mathbf{q})$ вдоль отрезков, соединяющих эти точки.





Минаков Д.В. Дисс. ... канд. физ.-мат. наук. М.: 2015



Квазигармоническое приближение

Свободная энергия кристалла:

$$F(V,T_{i},T_{e})=E_{0}(V)+F_{e}(V,T_{e})+F_{ph}(V,T_{i},T_{e})$$

Фононный вклад (зависит от T_e через фононный спектр, λ — мода колебаний):

$$F_{ph}(V,T_i,T_e) = rac{1}{2} \sum_{\mathbf{q},\lambda} \hbar \omega_{\mathbf{q},\lambda}(V,T_e) + k_B T_i \sum_{\mathbf{q},\lambda} \ln igg[1 - \expigg(-rac{\hbar \omega_{\mathbf{q},\lambda}(V,T_e)}{k_B T_i} igg) igg]$$

Амплитуда тепловых колебаний (среднеквадратичное смещение):

$$\langle u^2(T_i)
angle = rac{\hbar}{2M_aN} \sum_{{f q},\lambda} rac{1}{\omega_{{f q},\lambda}} \cothrac{\hbar\omega_{{f q},\lambda}}{2k_BT_i} = rac{\hbar}{2M_a} \int\limits_0^{\infty} rac{d\omega}{\omega} g(\omega,T_e) \cothrac{\hbar\omega}{2k_BT_i}$$

При высоких температурах $\coth rac{\hbar \omega}{2k_B T_i} pprox rac{2k_B T_i}{\hbar \omega}$

плотность состояний

Тогда из критерия Линдемана:

$$T_m = T_{m0} igg(rac{a}{a_0}igg)^2 igg(rac{\langle \omega_0^{-2}
angle}{\langle \omega^{-2}
angle}igg); \ \ \langle \omega^{-2}
angle = \int\limits_0^\infty rac{g(\omega,T_e)d\omega}{\omega^2}$$

Лепешкин С.В. и др. Письма в ЖЭТФ **89**, 688 (2009)

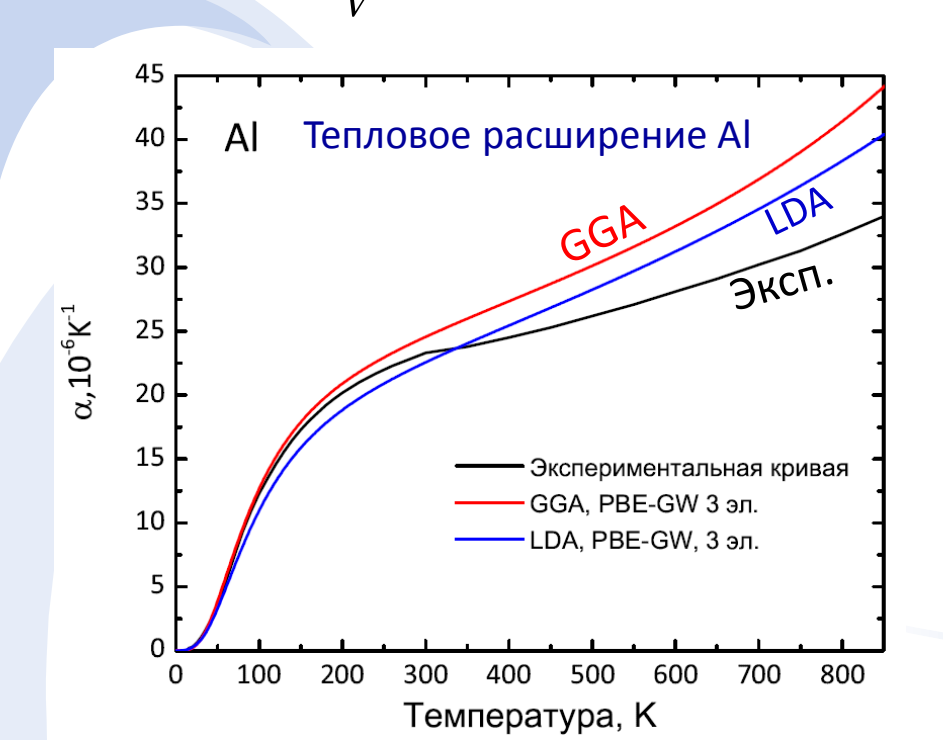


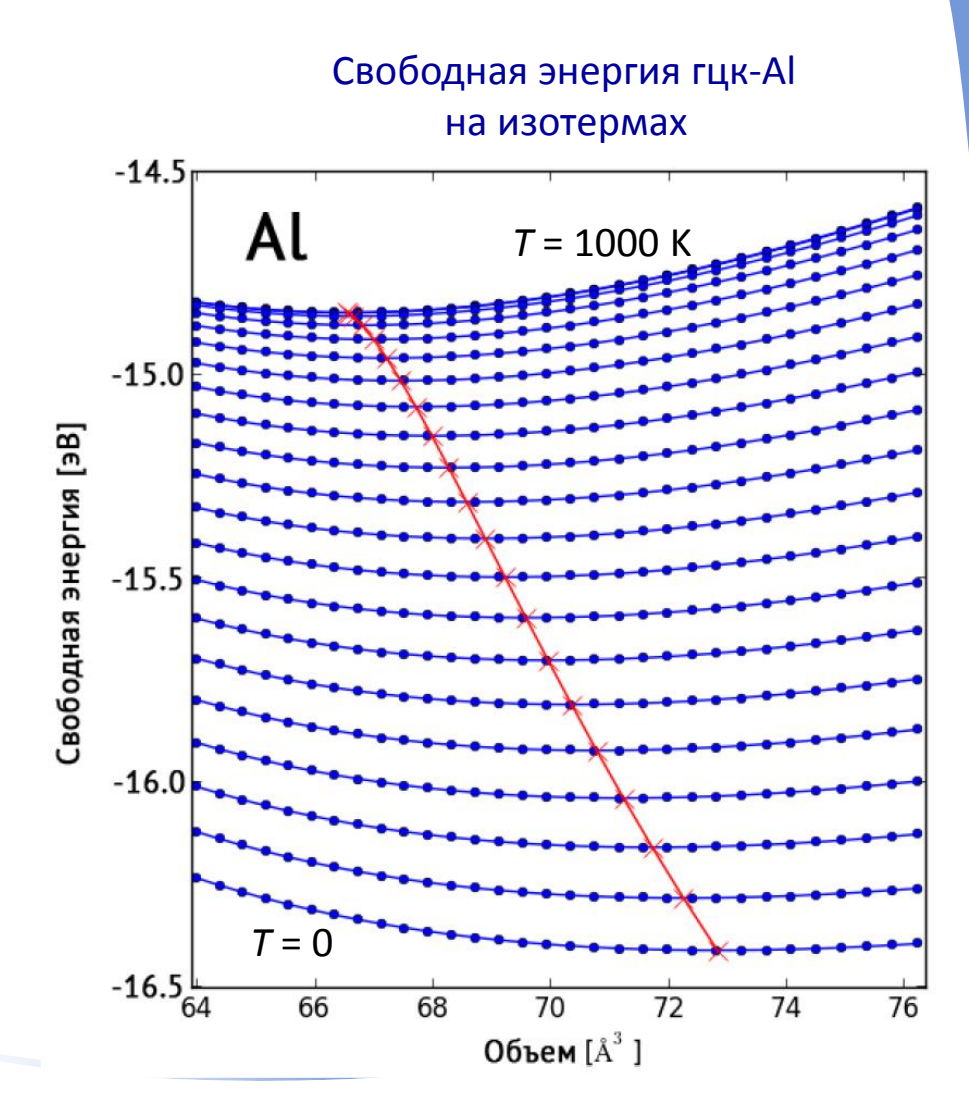
Коэффициент теплового расширения в квазигармоническом приближении

Коэффициент теплового расширения:

$$lpha_L = rac{1}{3V}igg(rac{\partial V}{\partial T}igg)_P$$

Равновесный объем при температуре T = T_i = T_e и P = 0 находится из условия $\min_{i} F(V,T)$



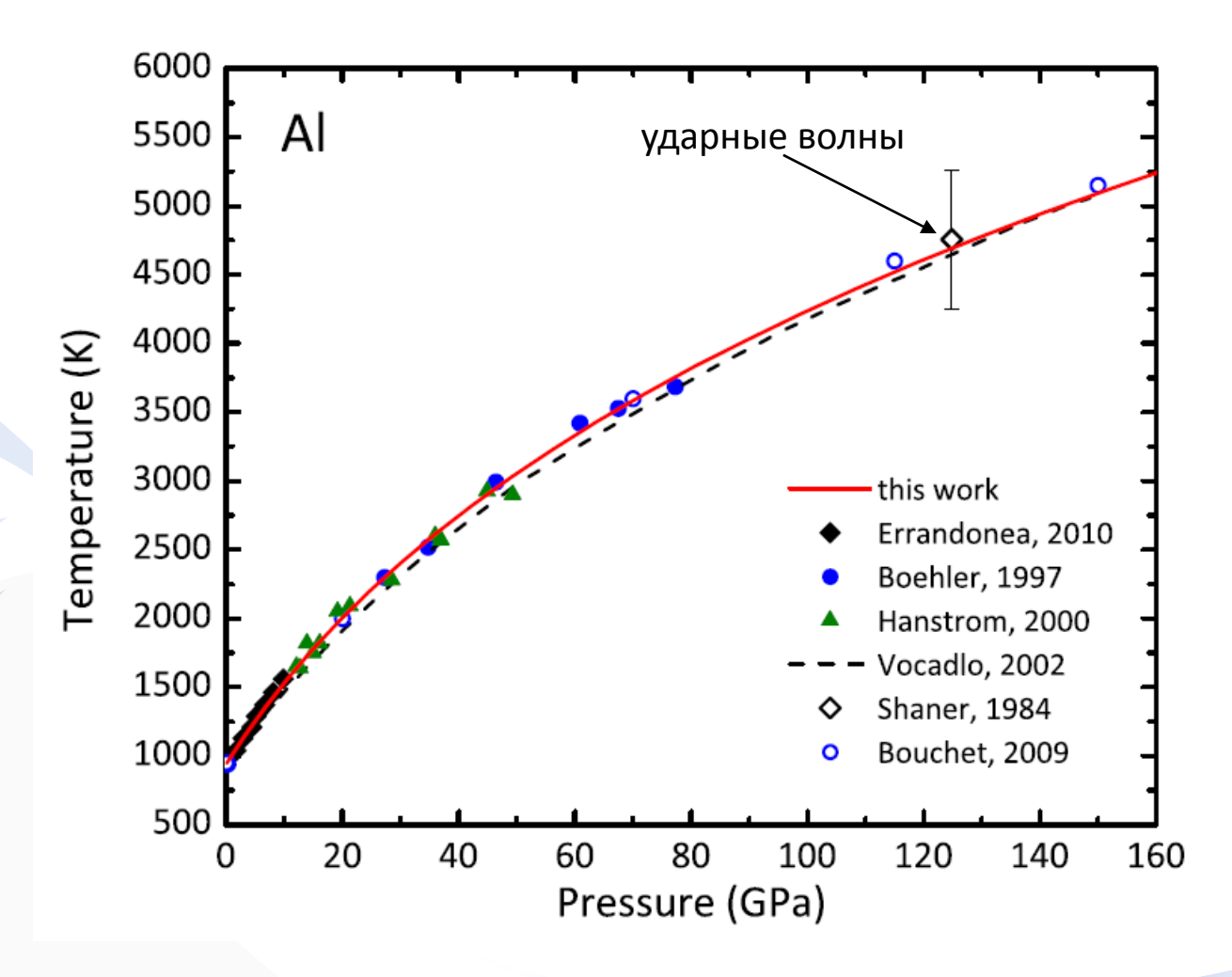


Минаков Д.В. Дисс. ... канд. физ.-мат. наук. М.: 2015



Кривая плавления алюминия

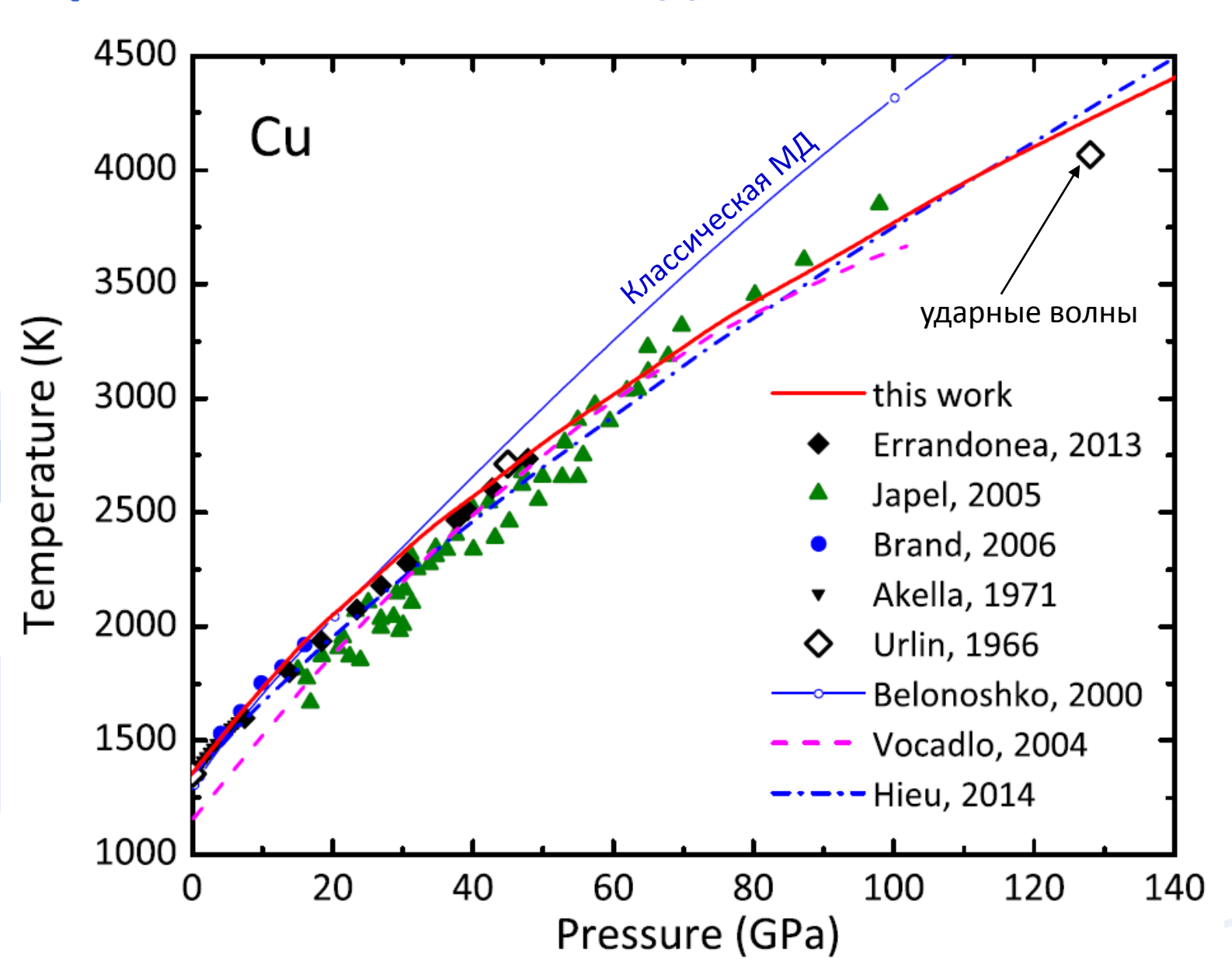
Для вычисления кривой плавления учитывалась электронная температура, $T_m = T_e = T_i$ Давление затем вычислялось путем дифференцирования F по V при постоянной $T = T_m$.

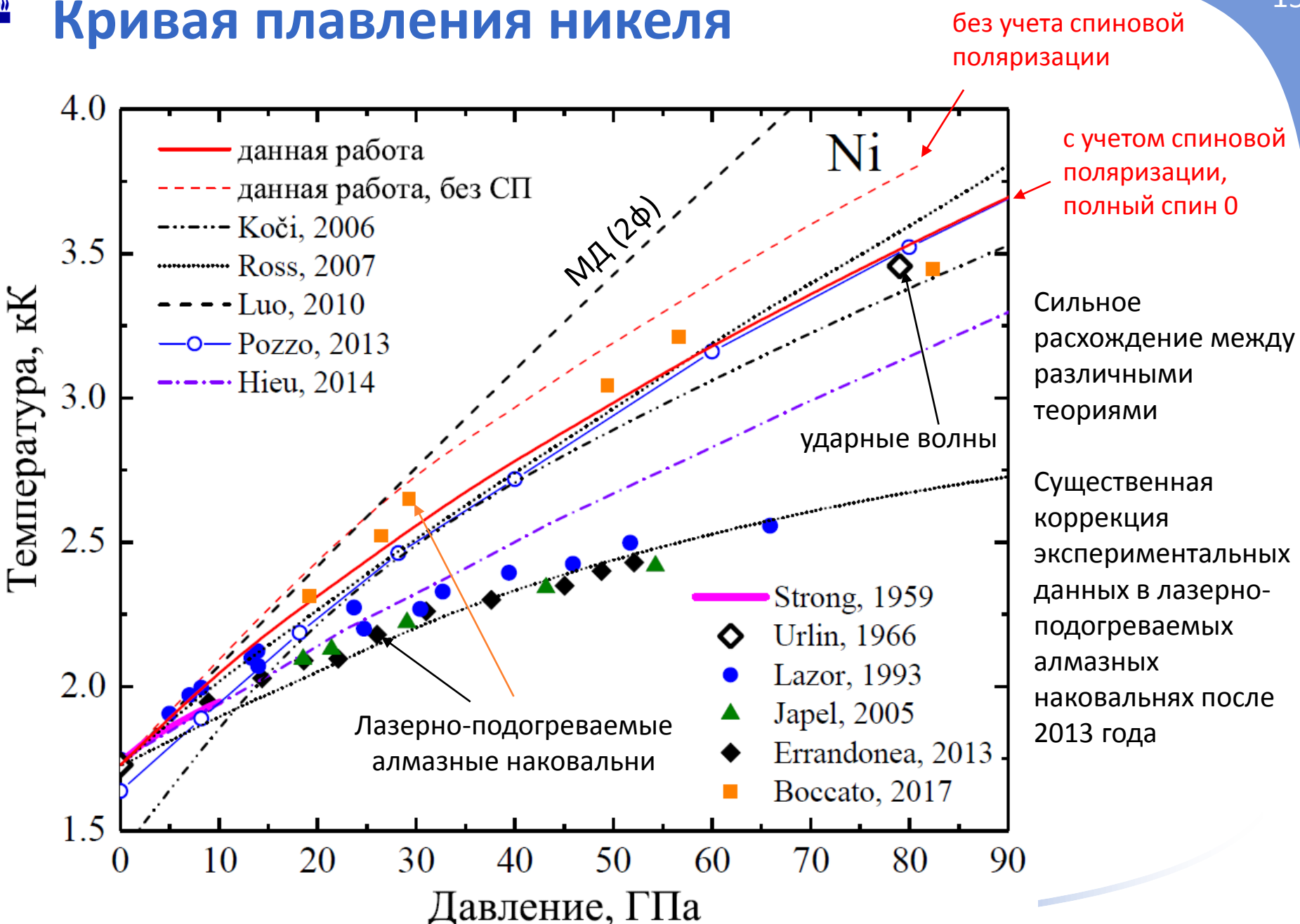


Прекрасное согласие с экспериментом и с другими теориями



Кривая плавления меди



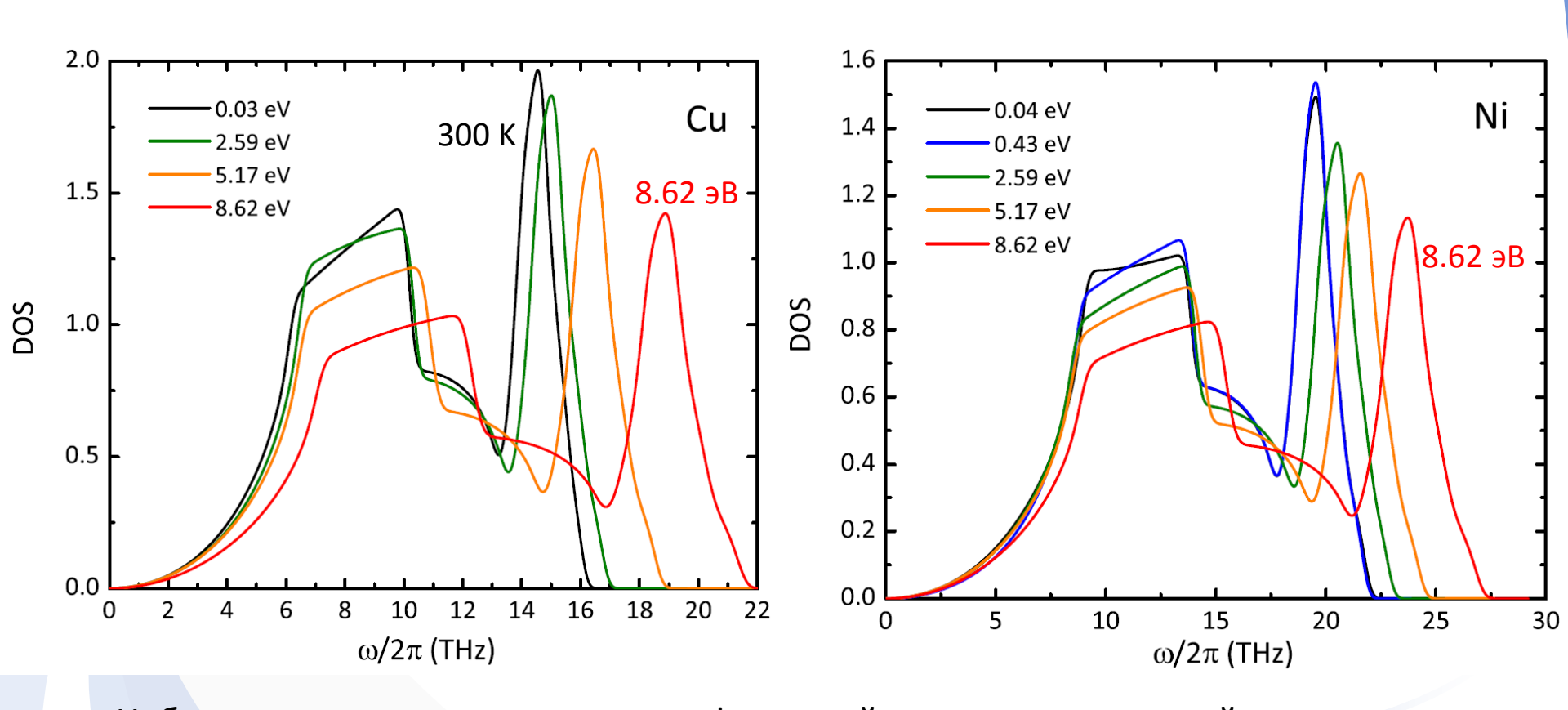


Minakov D.V., Levashov P.R. PRB **92**, 224102 (2015)



Зависимость фононных свойств от температуры электронов

Температура электронов задается с помощью распределения Ферми-Дирака, ионы установлены в узлы идеальной гцк-решетки

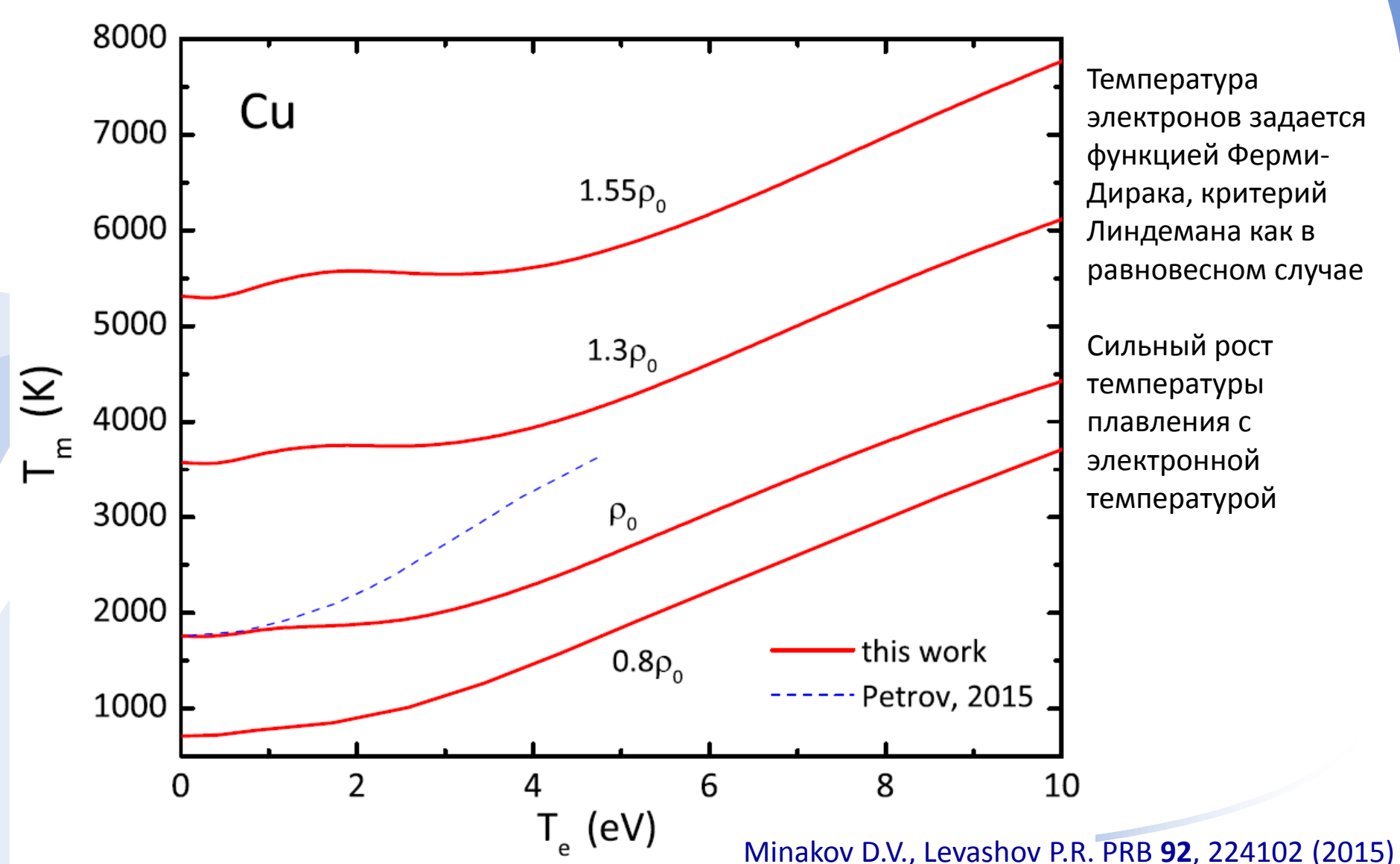


Наблюдается сильная зависимость фононной плотности состояний, что должно сказаться на кривых плавления

Minakov D.V., Levashov P.R. PRB **92**, 224102 (2015)

)))

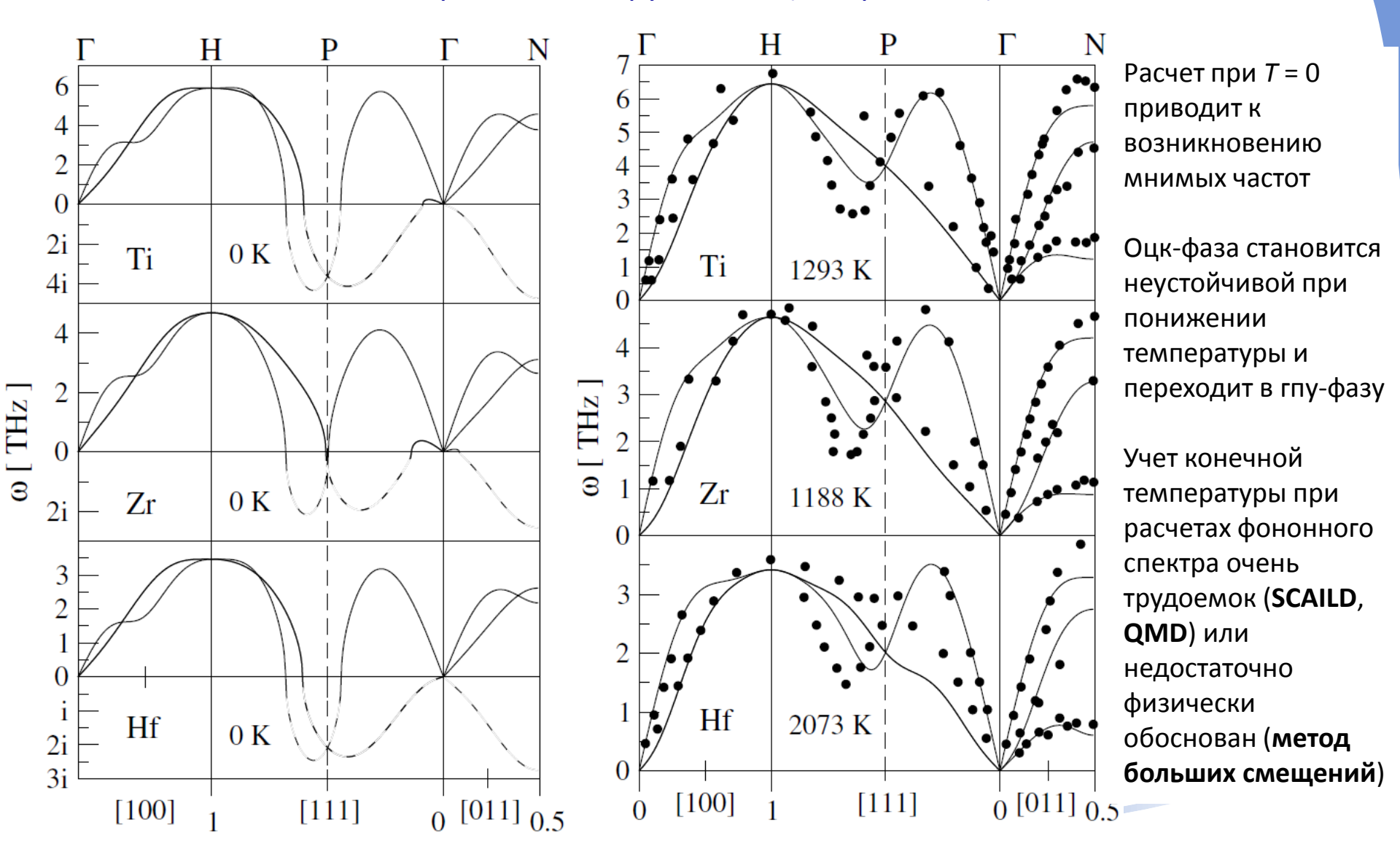
Кривые плавления для Cu с нагретыми электронами



Petrov Yu.V. et al. Appl. Phys. B **119**, 401 (2015)

Влияние эффектов ангармонизма

Фононный спектр металлов группы IVB (оцк-решетка)



Souvartzis P. et al. Comp. Mat. Sci 44, 888 (2009)

Al, $4.7g/cm^3$

20



В Расчет фононной плотности состояний из МД-моделирования

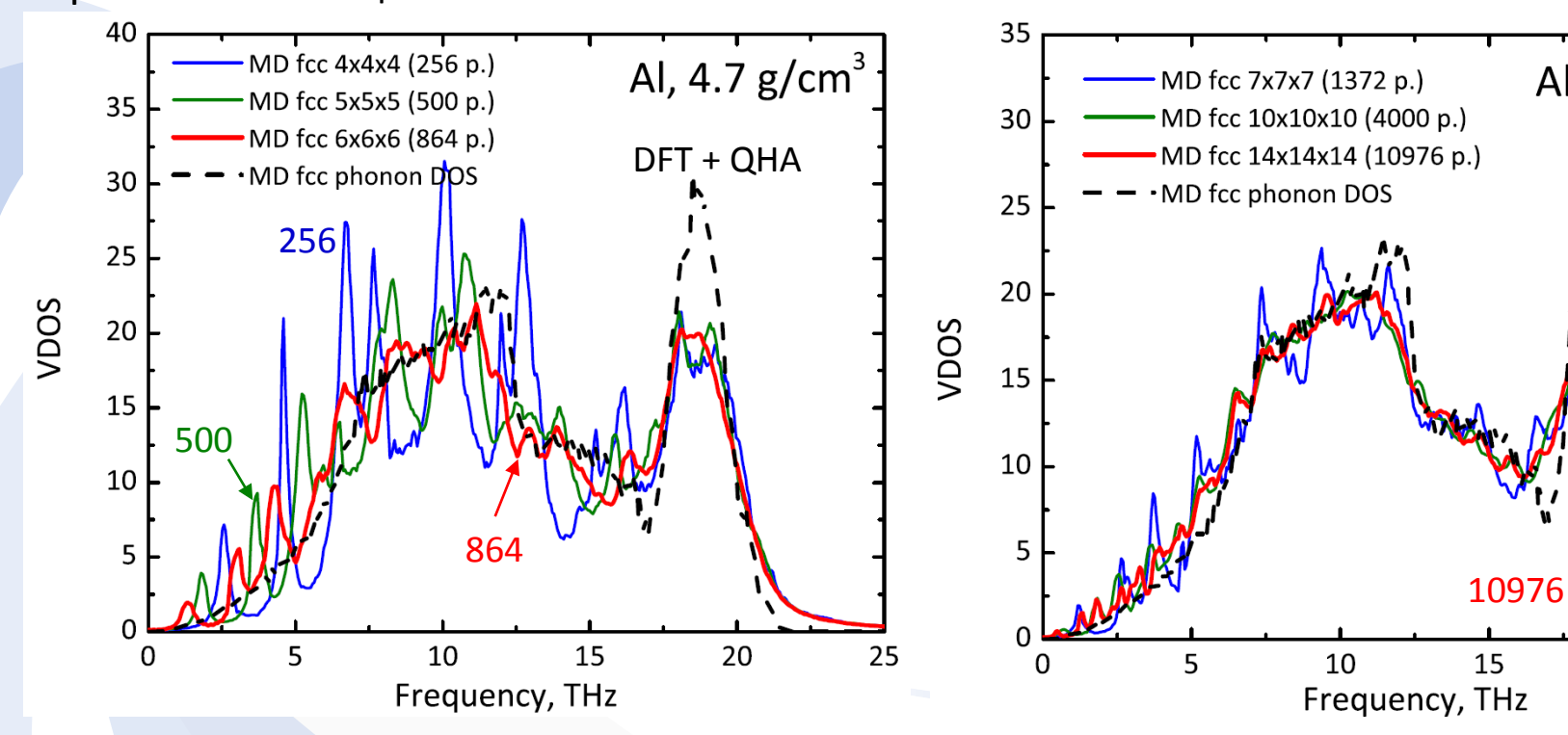
Плотность фононных состояний:

Автокорреляционная функция скорости

$$g(
u) = \int\limits_0^\infty Z(t) e^{-i2\pi
u t} dt$$

$$Z(t) = rac{\langle {f v}(t) \cdot {f v}_0(t)
angle}{\langle {f v}_0 \cdot {f v}_0
angle}$$

МД-расчет для AI с потенциалом EAM Жаховского В.В. Гладкая зависимость достигается при числе частиц около 10^4



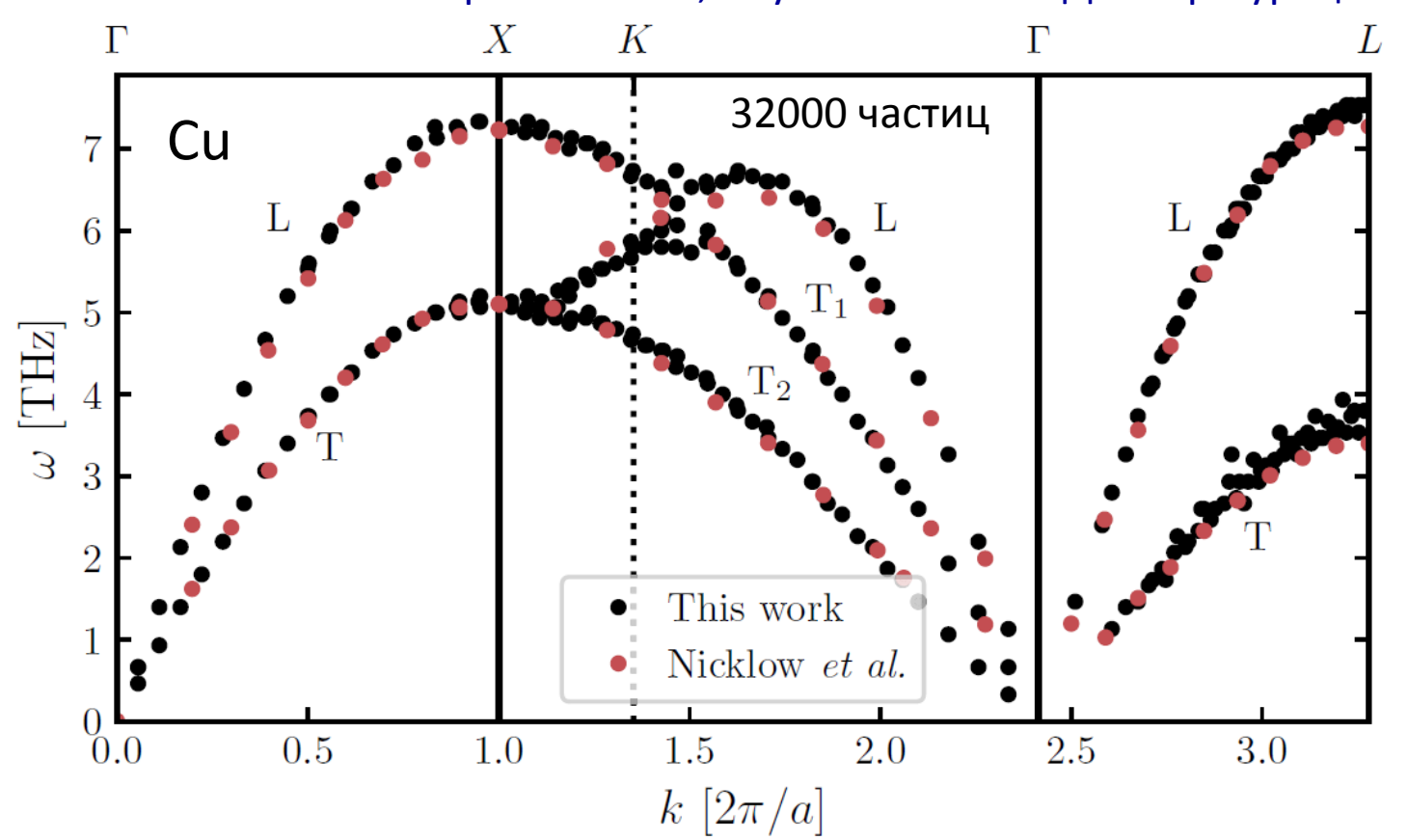
Minakov D.V. et al. Comp. Mat. Sci. **127**, 42 (2017)

222

Расчет фононного спектра из МД-моделирования

Прямой расчет фононного спектра из КМД моделирования в настоящее время невозможен, для этого требуется как минимум несколько тысяч частиц. Для плотности фононных состояний необходимо вычислять автокорреляционную функцию скоростьскорость, для фононного спектра — продольный и поперечный спектры тока $J_{l,t}(\mathbf{k},\omega)$

Фононный спектр меди, вычисленный из МД-моделирования. Использовалась нейронная сеть, обученная по КМД-конфигурациям



Schörner M. et al. PRB **106**, 054304 (2022)



Среднеквадратичное смещение из МД

- Возможно, что для расчета среднеквадратичного смещения из прямого МДрасчета не нужно много атомов. Действительно, расчеты показывают, что для этого достаточно около 100 атомов, однако важно правильно выбрать конфигурацию атомов, относительно которой смещение будет рассчитываться.
- Наилучшие результаты получаются, когда в качестве такой конфигурации выбирается конфигурация **с усредненными положениями атомов** на равновесном участке моделирования.
- Дополнительно рассчитывается **коэффициент самодиффузии** на равновесном участке, он должен быть равен 0.
- Среднеквадратичное смещение будет зависеть от *T* и *P*:

$$\langle u^2(T,P)
angle = rac{1}{N_{at}N_{cf}}\sum_{c=1}^{N_{cf}}\sum_{i=1}^{N_{at}}\sum_{lpha=1}^3(x_{ci}^lpha-x_{ri}^lpha)^2.$$

Усредненные положения атомов

Можно определить параметр Линдемана как

$$L(T,P) = rac{\langle u^2(T,P)
angle}{d_{at}}; \;\; d_{at} = \left(rac{6V_{at}}{\pi}
ight)^{1/3}$$

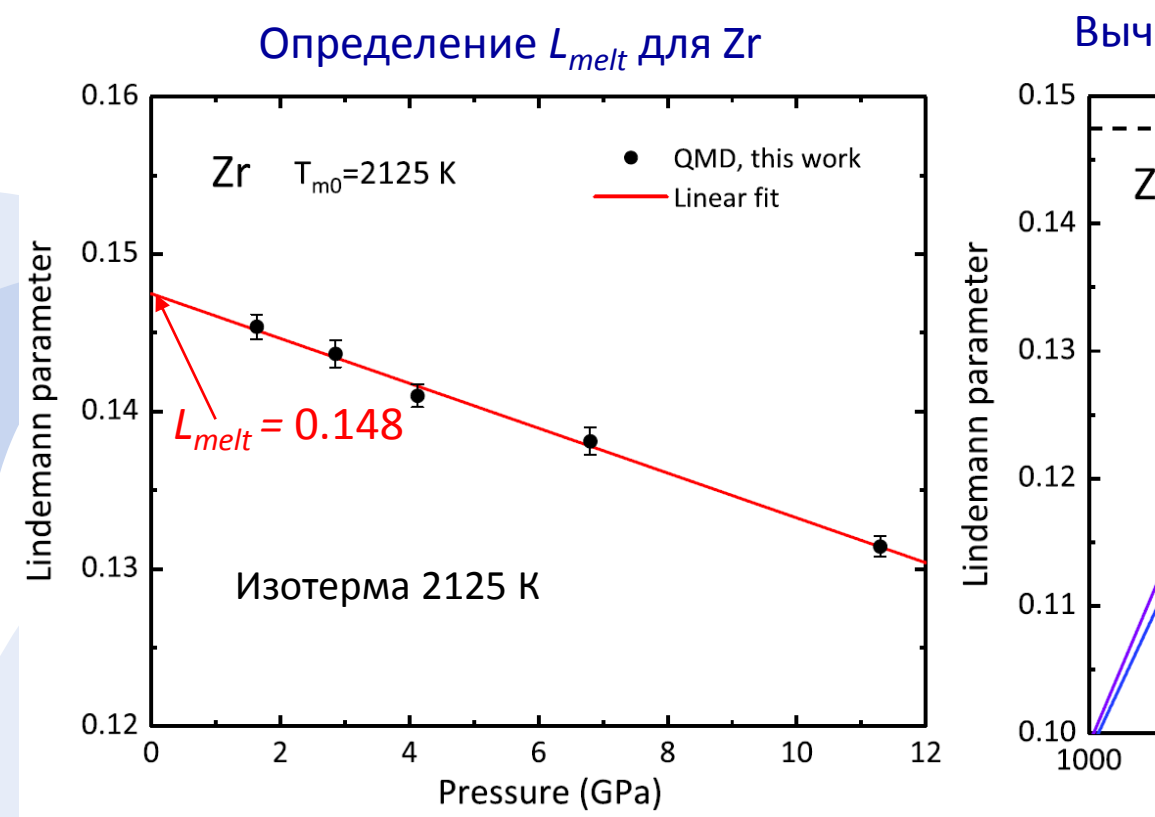
 $L(T, P) < L_{melt}$, L_{melt} = const — **критический** параметр Линдемана

Migdal K.P. et al. High Temp. **55**, 711 (2017). Minakov D.V. et al. PRB **106**, 214105 (2022)



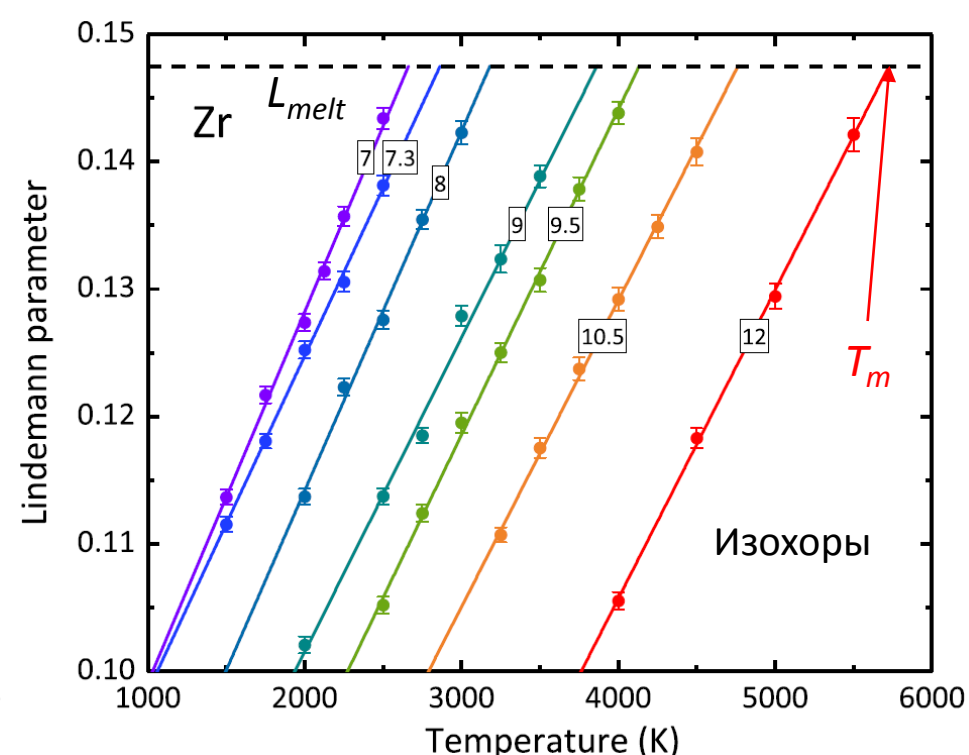
Расчеты кривой плавления для Zr

КМД-расчет, 128 атомов, решетка оцк, 2000 шагов по времени для выхода на равновесие, 4000 шагов для усреднения, *хс*-функционал РВЕ, 12 валентных электронов, 1 точка в зоне Бриллюэна (точка Балдереши), обрезание для энергии плоских волн 500 эВ



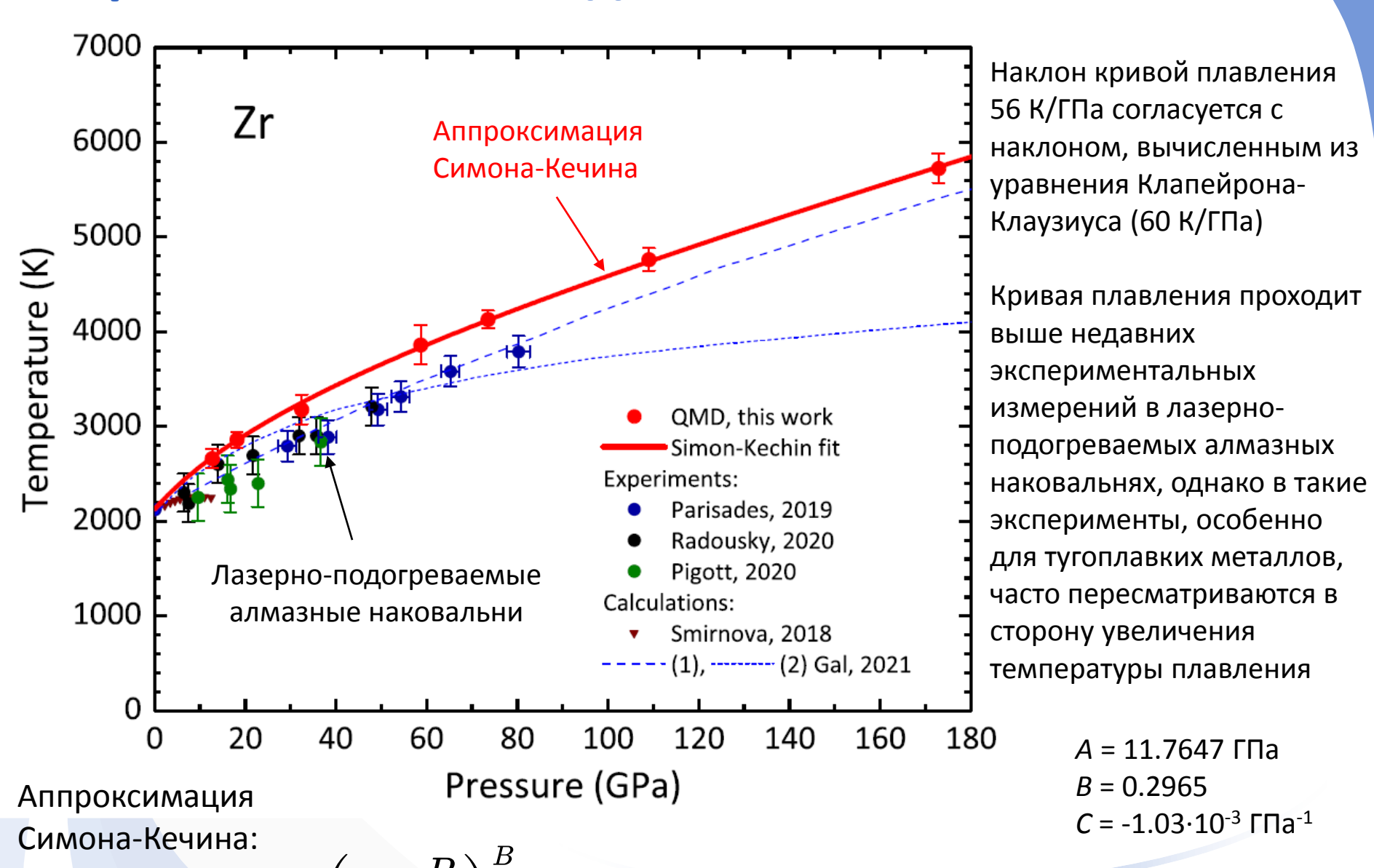
Линейная зависимость параметра Линдемана от давления и температуры

Вычисление кривой плавления для Zr



$$P_m = P(T_m, \rho)$$

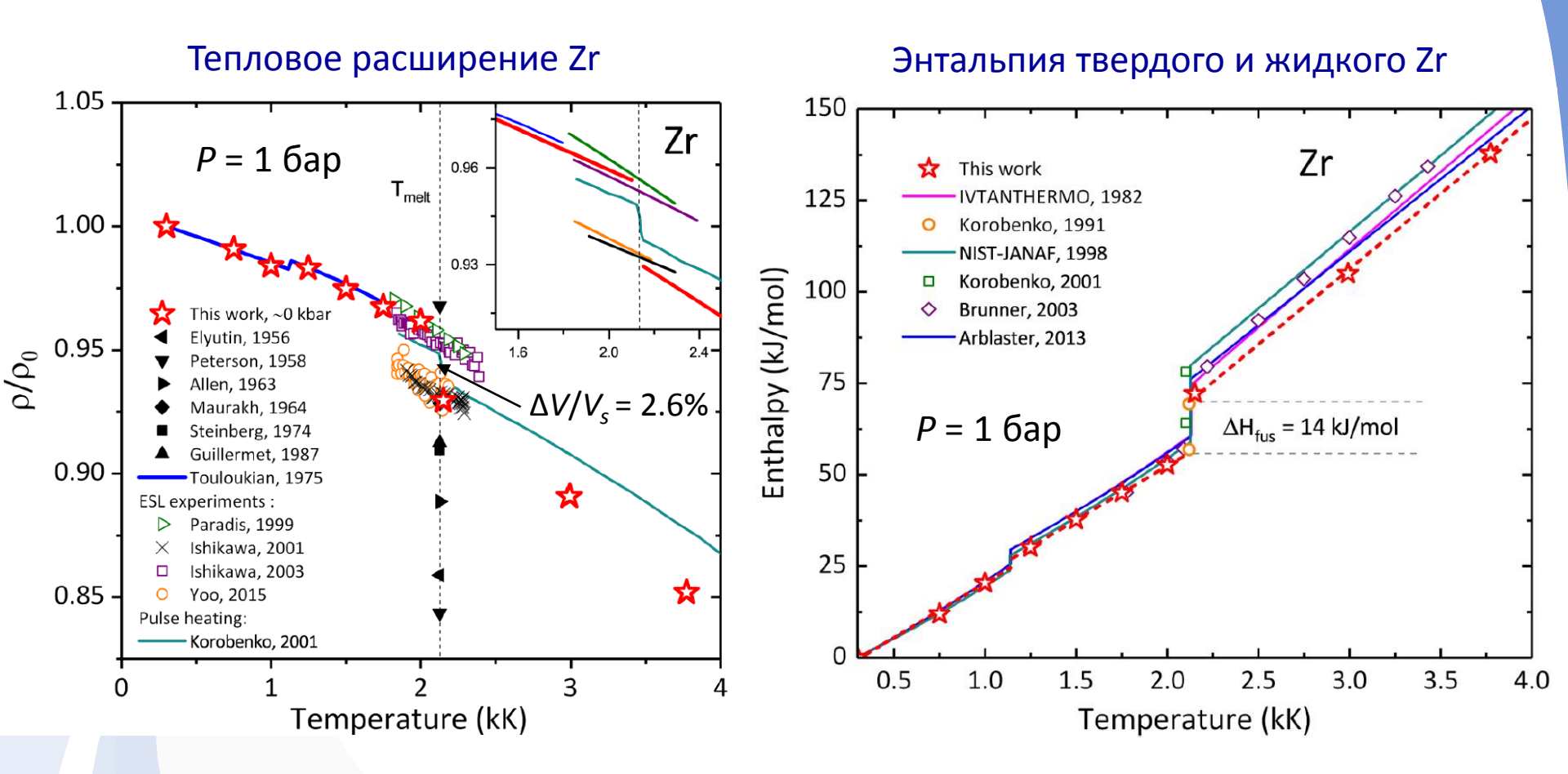
Кривая плавления для Zr



Minakov D.V. et al. PRB **106**, 214105 (2022) Kechin V.V. PRB **65**, 052102 (2001)



Энтальпия и скачок плотности при плавлении для Zr

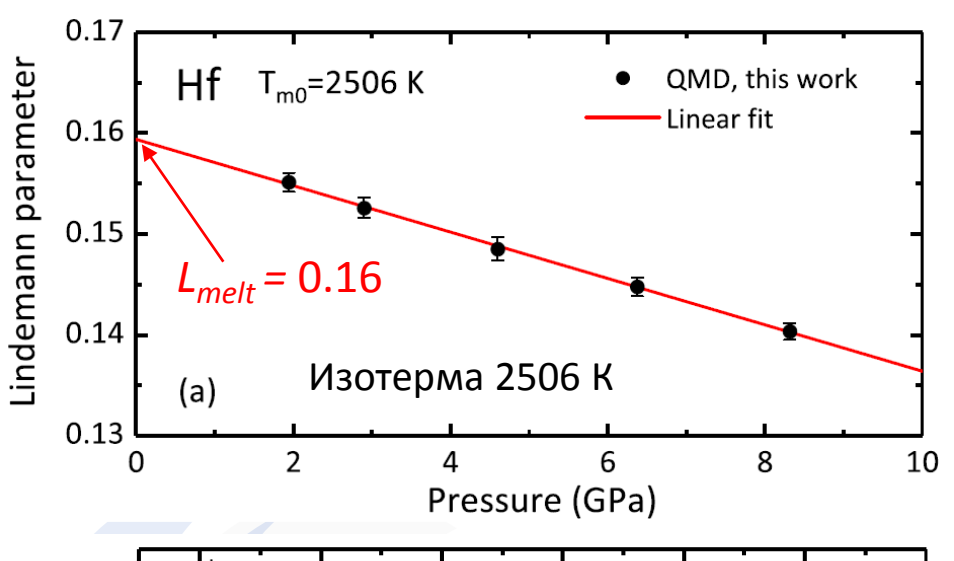


По соотношению Клапейрона-Клаузиуса можно определить наклон кривой плавления (60 К/ГПа) при P=0

$$rac{dT_m}{dP} = T_{m0} rac{\Delta V_{fus}}{\Delta H_{fus}}$$

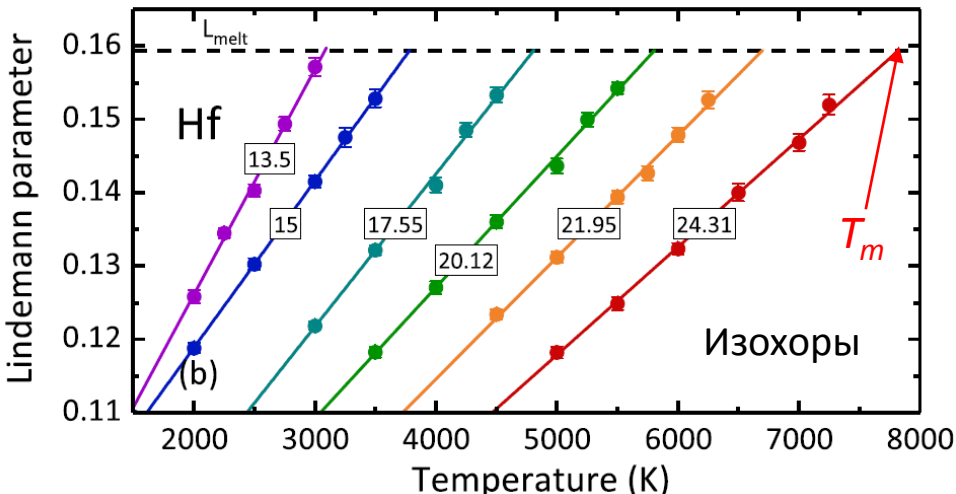
Расчеты кривой плавления для Hf

КМД-расчет, 128 атомов, решетка оцк, 2000 шагов по времени для выхода на равновесие, 4000 шагов для усреднения, *хс*-функционал РВЕ, 12 валентных электронов, 1 точка в зоне Бриллюэна (точка Балдереши), обрезание для энергии плоских волн 500 эВ



Определение L_{melt} для Hf

Линейная зависимость параметра Линдемана от давления и температуры



Вычисление кривой плавления для Hf Моделирование на изохорах

$$P_m = P(T_m, \rho)$$

Кривая плавления для Hf

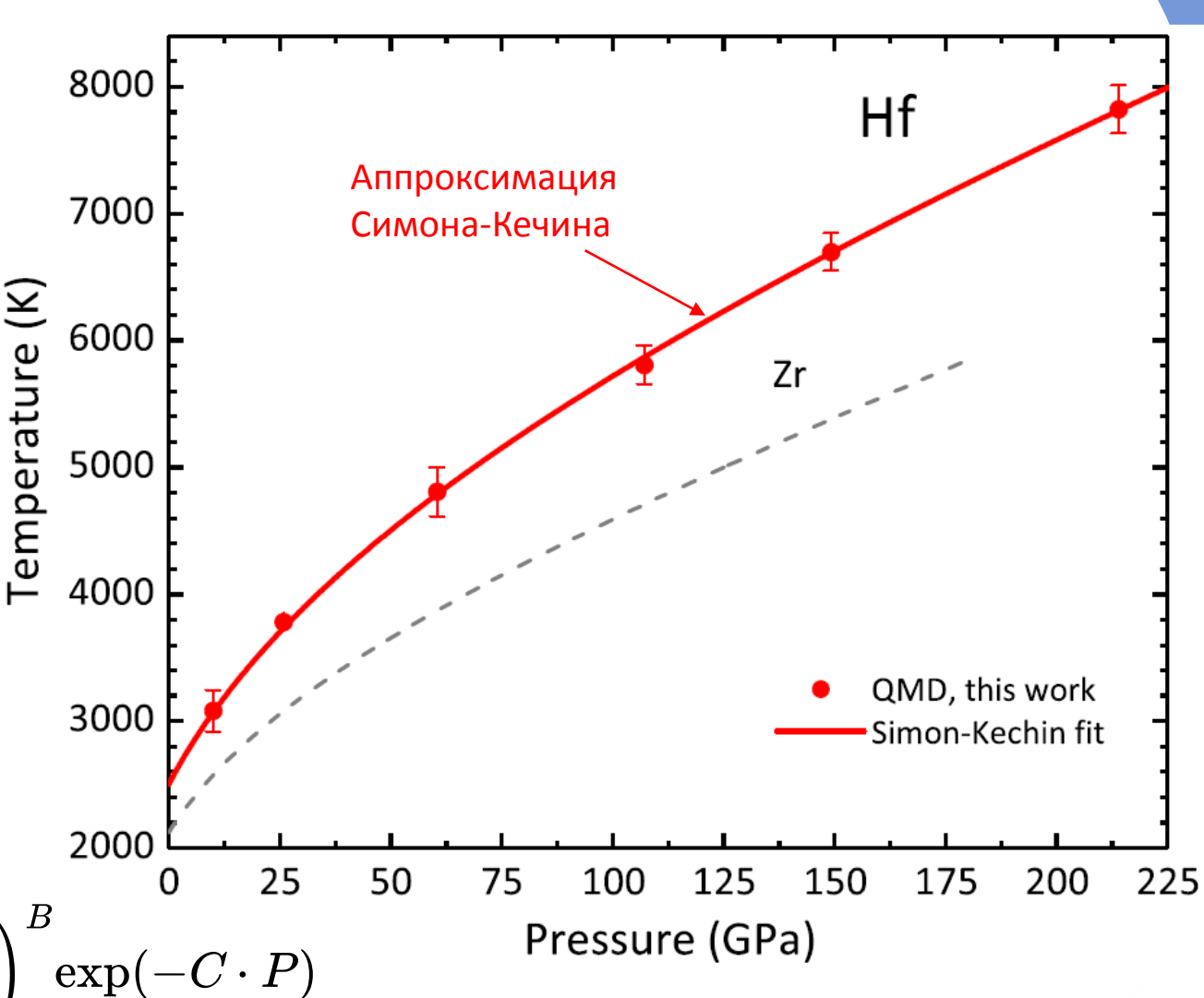
Экспериментальные данные отсутствуют

Наклон кривой плавления 67 К/ГПа согласуется с наклоном, вычисленным из уравнения Клапейрона-Клаузиуса (60 К/ГПа)

Линия — аппроксимация Симона-Кечина:

$$T_m(P) = T_{m0}igg(1+rac{P}{A}igg)^B \exp(-C\cdot P)$$

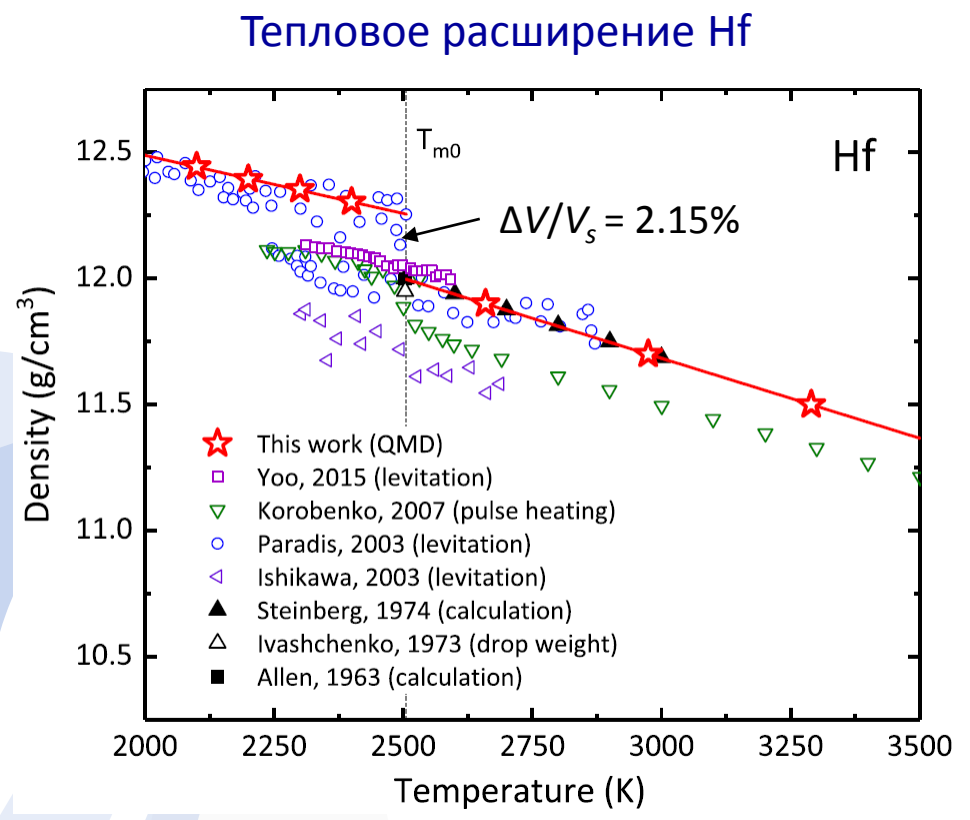
Параметры $A = 14.2857 \ \Gamma \Pi a$ B = 0.3745 $C = -4.6341 \times 10^{-4} \ \Gamma \Pi a^{-1}$



Minakov D.V. et al. PRB **106**, 214105 (2022) Kechin V.V. PRB **65**, 052102 (2001)

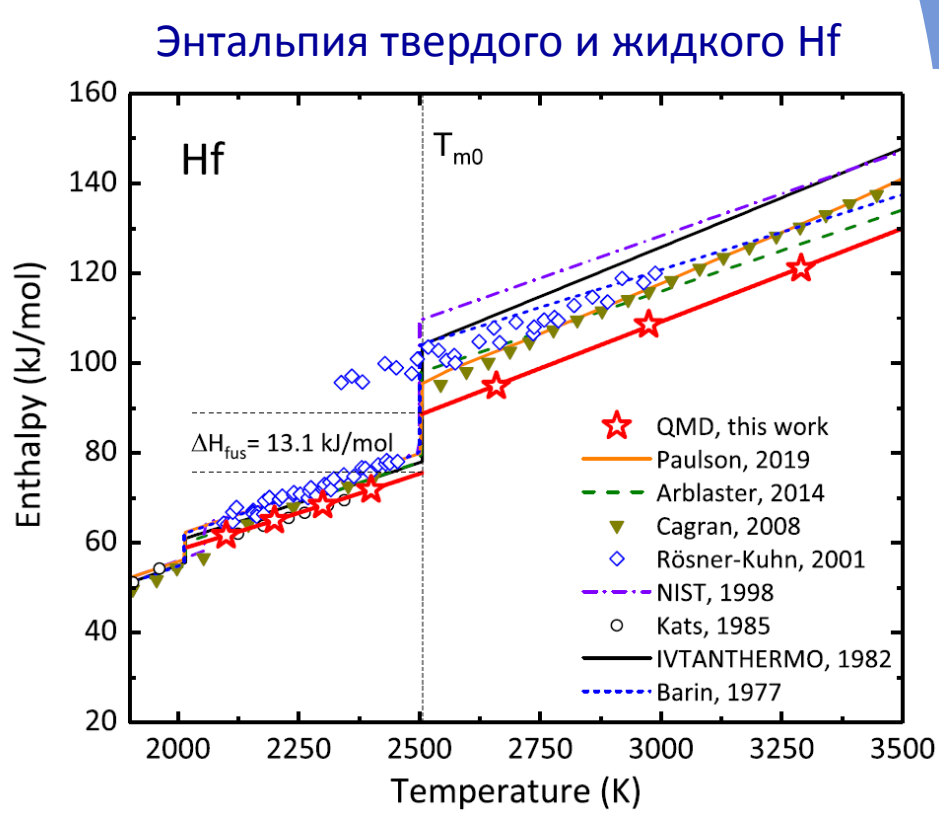


Энтальпия и скачок плотности при плавлении для Hf



Скачок плотности при плавлении соответствует экспериментам по левитации

По соотношению Клапейрона-Клаузиуса можно определить наклон кривой плавления (60 К/ГПа) при P=0



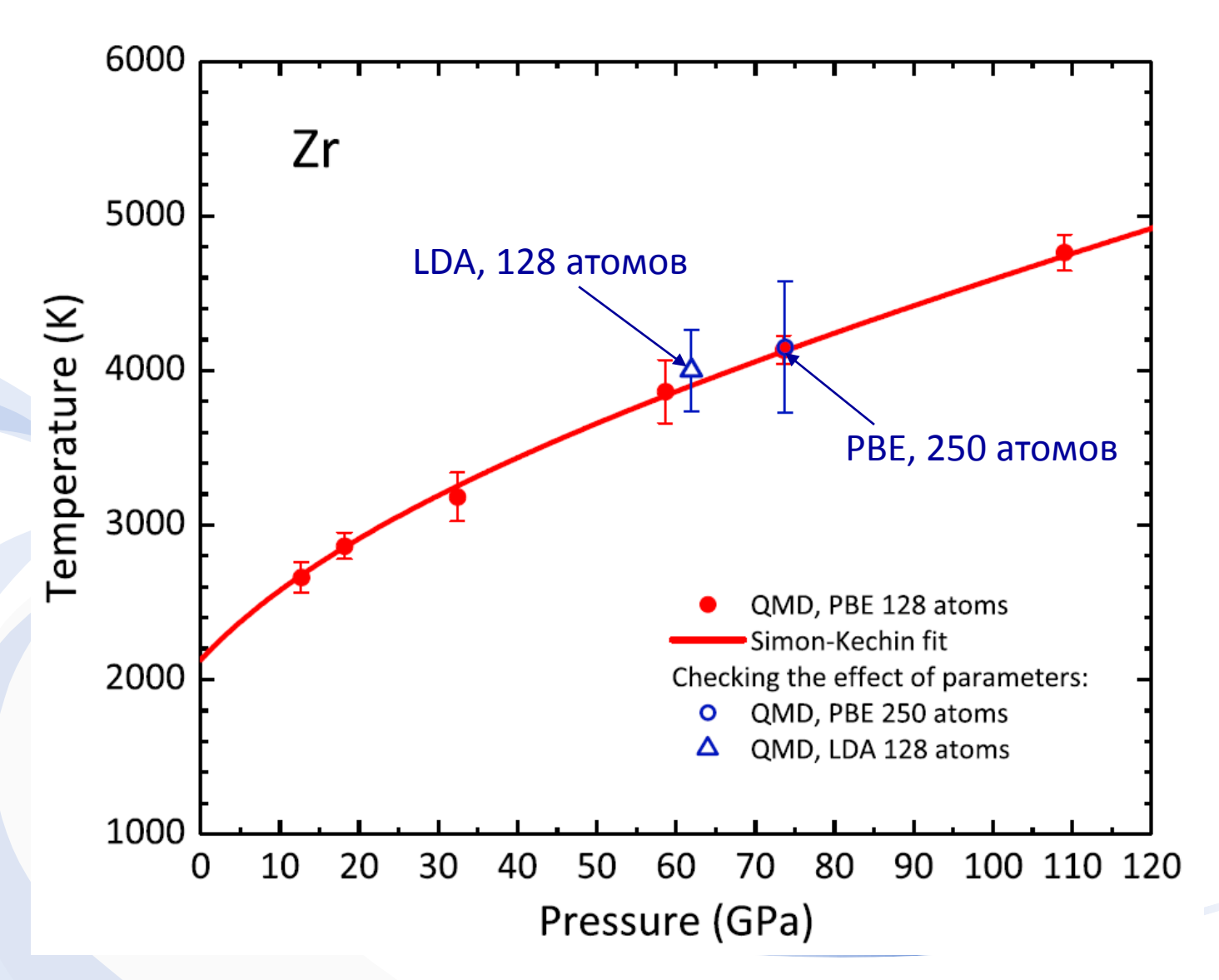
Самый маленький скачок энтальпии при плавлении (13.1 кДж/моль)

$$rac{dT_m}{dP} = T_{m0} rac{\Delta V_{fus}}{\Delta H_{fus}}$$

Minakov D.V. et al. PRB **106**, 214105 (2022)

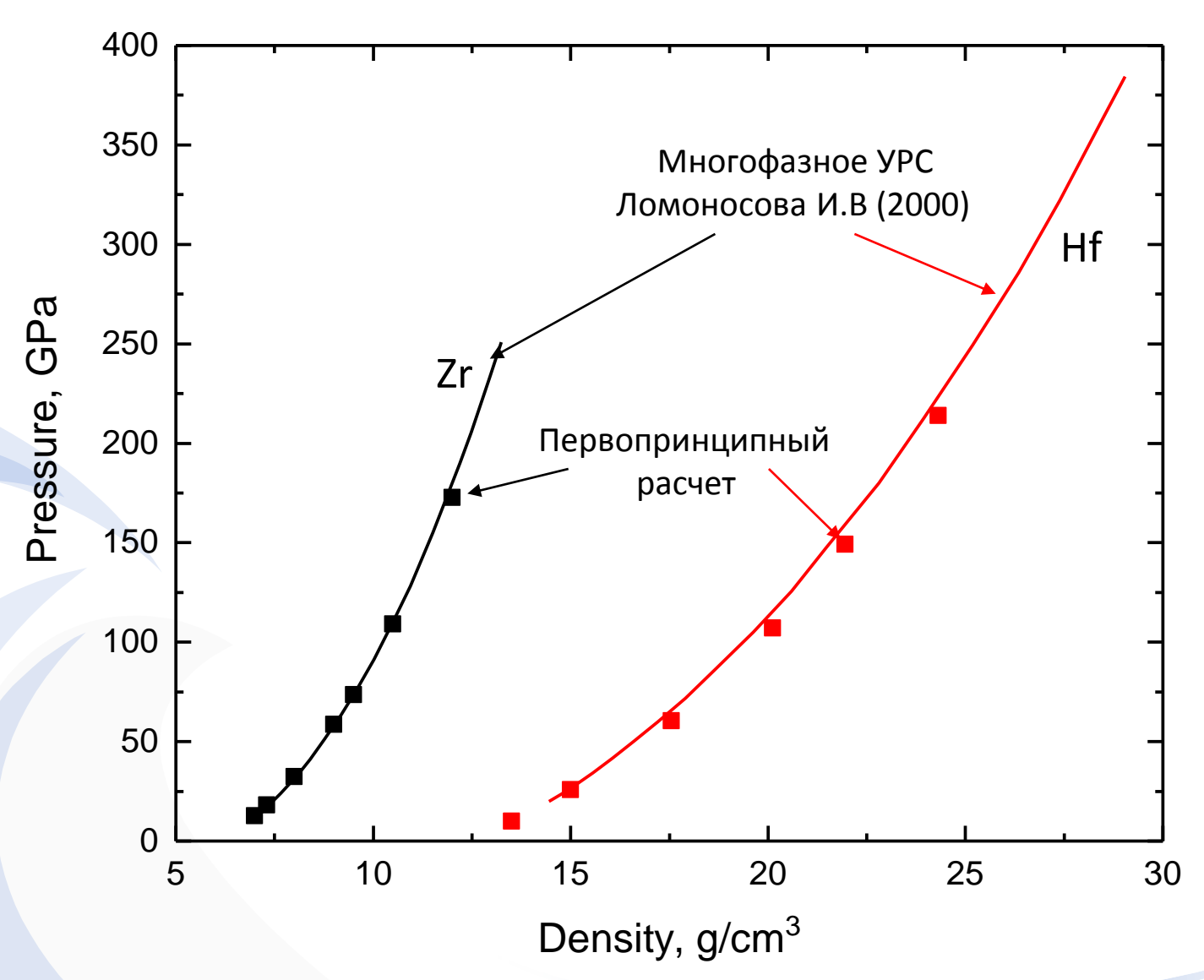


Влияние параметров расчета на кривую плавления Zr





Кривые плавления Zr и Hf в координатах P-р



Отличное согласие твердотельных ветвей кривых плавления (приведена плотность твердой фазы в начале плавления). Температурные данные для УРС недоступны (пока)



Выводы

- 1. Критерий Линдемана хорошо работает для металлов, что подтверждается как теоретическим рассмотрением для модельных систем, так и сравнением с экспериментальными данными
- 2. Чаще всего критерий Линдемана применяют в упрощенной формулировке совместно с теорией Дебая
- 3. Амплитуду тепловых колебаний атомов можно вычислить из квазигармонического приближения через плотность фононных состояний; при слабых эффектах ангармонизма получается хорошее согласие с экспериментом (Al, Cu, Ni)
- 4. Однако в ряде случаев (Li, Ti, Zr, Hf) сильные эффекты ангармонизма приводят к появлению мнимых мод колебаний, и квазигармоническое приближение становится неприменимым
- 5. Амплитуду тепловых колебаний тогда можно вычислить непосредственно из траекторий движения атомов/ионов относительно их положений равновесия
- 6. Полученные таким образом кривые плавления согласуются по наклону с уравнением Клайперона-Клаузиуса и не противоречат экспериментальным данным





Схематическая фазовая диаграмма Ті

